

14.12.06

ISSN 0373-2428

# Успехи современной радиоэлектроники

<http://www.radiotec.ru/>

10' 2006

В номере:

Журнал в журнале

Зарубежная радиоэлектроника  
2' 2006



Тел./факс: (095) 925-9241  
E-mail: info@radiotec.ru  
<http://www.radiotec.ru/>

ПОДПИСНОЙ ИНДЕКС 70325 В КАТАЛОГЕ АГЕНТСТВА "РОСПЕЧАТЬ": ГАЗЕТЫ И ЖУРНАЛЫ



# Моделирование рассеяния поля плоской электромагнитной волны на отражателе из двух коаксиальных конусов с продольными щелями

В.А. Дорошенко

Исследована задача дифракции плоской электромагнитной волны на сложной незамкнутой конической структуре с периодическими продольными щелями. С использованием интегральных преобразований Конторовича – Лебедева и метода полуобращения получены как аналитические, так и численные решения задачи. Проведен анализ влияния параметров структуры на распределение поля в пространстве.

A problem of plane electromagnetic wave diffraction on a complex unclosed conical structure with periodical longitudinal slots is investigated. By using the Kontorovich-Lebedev integral transforms and a semi-inversion method analytical and numerical problem solution are obtained. Structure effects on field distribution in space are analyzed.

## Введение

Конические и биконические структуры со свойственными им широкополосными характеристиками используются в антенной и измерительной технике, радиолокации в качестве элементов аппаратуры формирования мощных импульсных сигналов, а также приборов диагностики и контроля [1 – 6]. Замена сплошных изотропных конусов и биконусов неоднородными коническими и биконическими поверхностями, в частности, незамкнутыми, существенно расширяет рамки их практического применения. Так, сверхширокополосная антенна, выполненная на базе сплошного биконуса, имеет изотропную диаграмму направленности (ДН) и в силу этого малопригодна для использования с целью излучения мощных сверхширокополосных импульсов [6]. Применение конических лент (секторов) или конических поверхностей с вырезами является одной из возможностей формирования односторонней ДН. Поэтому интерес представляет исследование задачи рассеяния электромагнитных волн на конических структурах с продольными щелями, частными случаями которых являются конические секторы. Эффективным средством для решения краевых электродинамических задач в областях с конической геометрией являются интегральные преобразования Конторовича – Лебедева [7,8]. Использование этих преобразований позволило получить строгое решение задач дифракции плоских электромагнитных волн на сплошных идеально проводящих конусах [5,9], анизотропно проводящих конусах и биконусах, не учитывающих размеры и количество образующих их проводников [4].

Цель настоящей работы – решение краевой дифракционной задачи для структуры из двух коаксиальных круговых идеально проводящих конусов с продольными периодическими щелями, число и размеры которых произвольны.

## 1. Постановка и метод решения задачи

В сферической системе координат  $r, \theta, \phi$  рассмотрим коническую структуру  $\Sigma = \Sigma_1 \cup \Sigma_2$ , составленную из двух имеющих общую вершину и ось полубесконечных идеально проводящих тонких конических поверхностей  $\Sigma_1$  и  $\Sigma_2$  с периодически прорезанными вдоль образующих  $N$  щелями (рис.1). Обозначим:  $2\gamma_j$  – угол раскрытия конуса  $\Sigma_j$ ,  $j = 1, 2$ ;  $d_j$  – угловую ширину щелей;  $l = 2\pi/N$  – период структуры. Период конической структуры и ширина щелей равны величинам двугранных углов, которые образованы плоскостями, проведенными через ось конусов и ребра соседних конических лент. Во введенной системе координат конус  $\Sigma_j$  определяется уравнением  $\theta = \gamma_j$ .

Коническая структура  $\Sigma$ , расположенная в однородной и изотропной среде с параметрами  $\epsilon, \mu$ , находится в поле плоской линейно поляризованной электромагнитной волны

$$\mathbf{E}_0 = \mathbf{E}_{\text{пл}} e^{-i\zeta k \cdot \mathbf{r}}, \quad \mathbf{H}_0 = \mathbf{H}_{\text{пл}} e^{-i\zeta k \cdot \mathbf{r}}, \quad (1)$$

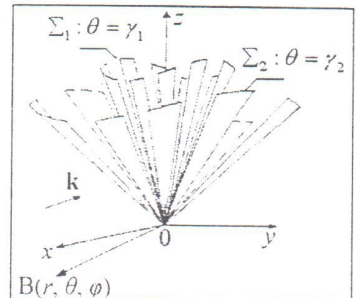


Рис.1. Геометрия структуры, проведенной через ось конусов и ребра соседних конических лент. Во введенной системе координат конус  $\Sigma_j$  определяется уравнением  $\theta = \gamma_j$ .

которая распространяется вдоль направления, образующего с осями  $OZ$  и  $OX$  декартовой прямугольной системы координат углы  $\theta_0$  и  $\varphi_0$  соответственно. Здесь  $\mathbf{k}$  – волновой вектор;  $\mathbf{r}$  – радиус-вектор точки наблюдения. Предполагается, что волновые процессы имеют гармоническую зависимость во времени  $e^{i\omega t}$ ,  $\zeta = \pm 1$ .

Рассмотрим поле плоской волны (1) двух типов поляризации, которым поставим в соответствие значение параметра  $\sigma$ :  $E$ -поляризация ( $\sigma = 1$ ) и  $H$ -поляризация ( $\sigma = 2$ ). Поле плоской волны в этих случаях поляризации при распространении вдоль оси биконуса (оси  $OZ$ ) в декартовой системе координат определяется так:

- а)  $\mathbf{E}_0^{(1)} = (E_{0x}^{(1)}, 0, 0)$ ,  $\mathbf{H}_0^{(1)} = (0, H_{0y}^{(1)}, 0)$  для волны  $E$ -поляризации;
- б)  $\mathbf{E}_0^{(2)} = (0, E_{0y}^{(2)}, 0)$ ,  $\mathbf{H}_0^{(2)} = (H_{0x}^{(2)}, 0, 0)$  – для волны  $H$ -поляризации.

Электромагнитное поле  $\mathbf{E}^{(\sigma)}$ ,  $\mathbf{H}^{(\sigma)}$  в пространстве с биконической структурой  $\Sigma$  удовлетворяет:

уравнениям Максвелла;

граничному условию на лентах конусов

$$\mathbf{n} \times \mathbf{E} \Big|_{\Sigma} = 0;$$

условию излучения в форме Сильвера – Мюлера [10]:

$$\lim_{r \rightarrow +\infty} [\mathbf{r} \times (\nabla \times) - i\zeta kr] \mathbf{E} = 0,$$

$$\lim_{r \rightarrow +\infty} [\mathbf{r} \times (\nabla \times) - i\zeta kr] \mathbf{H} = 0;$$

условию ограниченности энергии.

Электродинамическая задача в такой постановке имеет единственное решение [11]. Представим искомое поле в среде с конической структурой  $\mathbf{E}^{(\sigma)}$ ,  $\mathbf{H}^{(\sigma)}$  в виде

$$\mathbf{E}^{(\sigma)} = \mathbf{E}_0^{(\sigma)} + \mathbf{E}_1^{(\sigma)}, \quad (2)$$

$$\mathbf{H}^{(\sigma)} = \mathbf{H}_0^{(\sigma)} + \mathbf{H}_1^{(\sigma)}, \quad (3)$$

где поле  $\mathbf{E}_1^{(\sigma)}$ ,  $\mathbf{H}_1^{(\sigma)}$  обусловлено присутствием конуса.

Введем электрический  $v^{(1),\sigma}(r, \theta, \varphi)$  и магнитный  $v^{(2),\sigma}(r, \theta, \varphi)$  потенциалы Дебая, через которые выражаются составляющие электромагнитного поля [12].

Потенциалы  $v^{(\chi),\sigma}$ ,  $\chi = 1, 2$ , соответствующие полю  $\mathbf{E}^{(\sigma)}$ ,  $\mathbf{H}^{(\sigma)}$ , удовлетворяют:

однородному уравнению Гельмгольца

$$(\Delta - q^2) v^{(\chi),\sigma} = 0, \quad q = i\zeta k$$

всюду вне конической структуры  $\Sigma$ :  
краевому условию на конических секторах

$$\frac{\partial^{\chi-1}}{\partial n^{\chi-1}} v^{(\chi),\sigma} \Big|_{\Sigma} = 0; \quad (4)$$

условию излучения;

условию конечности энергии.

В соответствии со структурой электромагнитного поля (2), (3) запишем потенциалы  $v^{(\chi),\sigma}$ ,  $\chi = 1, 2$  в виде

$$v^{(\chi),\sigma} = v_0^{(\chi),\sigma} + v_1^{(\chi),\sigma}, \quad (5)$$

где потенциалы  $v_1^{(\chi),\sigma}$  соответствуют полю  $\mathbf{E}_1^{(\sigma)}$ ,  $\mathbf{H}_1^{(\sigma)}$ , а потенциалы  $v_0^{(\chi),\sigma}$  полю плоской волны  $\mathbf{E}_0^{(\sigma)}$ ,  $\mathbf{H}_0^{(\sigma)}$ , причем [4]

$$v_0^{(\chi),\sigma} = (-1)^{\sigma(\chi-1)} w^{3-\sigma-\chi} \frac{A_0^{(\sigma)}}{\zeta q} \tilde{g}(r, \beta_0) \times \\ \times \frac{1}{(\sin \theta_0)^{(\chi-\sigma)\tilde{\alpha}(\sigma)}} \frac{d\beta_0}{d\theta_0},$$

$$\tilde{\alpha}(\sigma) = (-1)^{\sigma-1},$$

$$\tilde{g}(r, \beta_0) = \frac{1}{\sin \beta_0} \left[ \operatorname{ch}(\zeta qr) - \operatorname{sh}(\zeta qr) \cos \beta_0 - e^{-\zeta qr \cos \beta_0} \right] =$$

$$= -\sqrt{2\pi\zeta qr} \sum_{n=1}^{+\infty} \frac{(n+1/2)}{n(n+1)} I_{n+1/2}(\zeta qr) P_n^1(\cos \beta_0),$$

$$\cos \beta_0 = \cos \theta \cos \theta_0 + \sin \theta \sin \theta_0 \cos(\varphi - \varphi_0),$$

$$\frac{d\beta_0}{d\theta_0} = \frac{\cos \theta \sin \theta_0 - \sin \theta \cos \theta_0 \cos(\varphi - \varphi_0)}{\sin \beta_0}.$$

Здесь  $A_0^{(\sigma)}$  – известный множитель.

Рассмотрим дифракцию распространяющейся вдоль оси  $OZ$  плоской  $E$ -поляризованной электромагнитной волны на конической структуре с продольными щелями  $\Sigma$ :

$$E_{0x} = e^{ikz}, \quad H_{0y} = \frac{1}{w} e^{ikz}.$$

В этом случае потенциалы Дебая (6) для плоской волны принимают вид [9]

$$v_0^{(\chi),1} = -\frac{1}{(w)^{1-\chi}} \frac{\sin\left(\frac{\pi}{2}\chi - \varphi\right)}{k^2 r \sin \theta} \times \\ \times \left( \cos kr + i \cos \theta \sin kr - e^{ikr \cos \theta} \right)$$

Искомые потенциалы (5) для конической структуры  $\Sigma$  запишем в виде

$$\nu_{\text{pacx}}^{(\chi),1} = \nu_{\text{pacx}}^{(\chi),1} + \nu_{\text{cx}}^{(\chi),1}, \quad (7)$$

$$\hat{\nu}_{\text{pacx}}^{(\chi),1} = -\frac{1}{2} \int_0^{+\infty} \tau s h \pi \tau e^{-\frac{\pi \tau}{2}} \hat{\nu}_{\text{pacx}}^{(\chi),1} \frac{H_{i\tau}^{(1)}(kr)}{\sqrt{r}} d\tau, \quad (8)$$

$$\hat{\nu}_{\text{pacx}}^{(\chi),1} = -\sum_{m=-1;1} \tilde{a}_{m\tau}^{(\chi)} \frac{d^{\chi-1}}{d\gamma_2^{\chi-1}} P_{-1/2+i\tau}^m(\cos \gamma_2) \hat{U}_{m\tau}^{(\chi)}(\theta, \varphi), \quad (9)$$

$$\hat{U}_{m,i\tau}^{(\chi)} = \begin{cases} \sum_{n=-\infty}^{+\infty} \hat{\alpha}_{m,n+m_0}^{(\chi)}(\tau) P_{-1/2+i\tau}^{m+nN}(\cos \theta) e^{i(m+nN)\varphi}, & 0 < \theta < \gamma_1, \\ \sum_{n=-\infty}^{+\infty} [\hat{\beta}_{m,n+m_0}^{(\chi)}(\tau) P_{-1/2+i\tau}^{m+nN}(\cos \theta) + \hat{\xi}_{m,n+m_0}^{(\chi)} P_{-1/2+i\tau}^{m+nN}(-\cos \theta)] e^{i(m+nN)\varphi}, & \gamma_1 < \theta < \gamma_2 \\ \sum_{n=-\infty}^{+\infty} \hat{\eta}_{m,n+m_0}^{(\chi)}(\tau) P_{-1/2+i\tau}^{m+nN}(-\cos \theta) e^{i(m+nN)\varphi}, & \gamma_2 < \theta < \pi; \end{cases}$$

$$\nu_{\text{cx}}^{(\chi),1} = -\frac{i}{2k^2} \frac{\sin kr}{r} \frac{d^{\chi-1}}{d\gamma_2^{\chi-1}} \left( \operatorname{tg} \frac{\gamma_2}{2} \right) \sum_{m=-1;1} \left( -i \frac{|m|}{m} \right)^{\chi-1} \hat{U}_m^{(\chi)}(\theta, \varphi)$$

$$\hat{U}_m^{(\chi)} = \begin{cases} \sum_{n=-\infty}^{+\infty} \alpha_{m,n+m_0}^{(\chi)} P_0^{-|m+nN|}(\cos \theta) e^{i(m+nN)\varphi}, & 0 < \theta < \gamma_1, \\ \sum_{n=-\infty}^{+\infty} [\beta_{m,n+m_0}^{(\chi)} P_0^{-|m+nN|}(\cos \theta) + \xi_{m,n+m_0}^{(\chi)} P_0^{-|m+nN|}(-\cos \theta)] e^{i(m+nN)\varphi}, & \gamma_1 < \theta < \gamma_2, \\ \sum_{n=-\infty}^{+\infty} \eta_{m,n+m_0}^{(\chi)} P_0^{-|m+nN|}(-\cos \theta) e^{i(m+nN)\varphi}, & \gamma_2 < \theta < \pi; \end{cases}$$

$$\alpha_{m,p}^{(\chi)} = \lim_{i\tau \rightarrow 1/2} \hat{\alpha}_{m,p}^{(\chi)}(\tau), \quad \beta_{m,p}^{(\chi)} = \lim_{i\tau \rightarrow 1/2} \hat{\beta}_{m,p}^{(\chi)}(\tau),$$

$$\xi_{m,p}^{(\chi)} = \lim_{i\tau \rightarrow 1/2} \hat{\xi}_{m,p}^{(\chi)}(\tau), \quad \eta_{mn}^{(\chi)} = \lim_{i\tau \rightarrow 1/2} \hat{\eta}_{mn}^{(\chi)}(\tau),$$

где  $H_{i\tau}^{(1)}(kr)$  – функция Ханкеля;  $P_{-1/2+i\tau}^{m+nN}(\cos \theta)$  – присоединенные функции Лежандра.

Использование краевого условия на секторах конусов (4) и условия непрерывности поля в щелях приводит к связанный системе функциональных уравнений относительно коэффициентов  $\hat{z}_{m,n}^{(\chi),j}$  ( $j=1,2$ ), через которые выражаются неизвестные коэффициенты  $\hat{\alpha}_{mn}^{(\chi)}, \hat{\beta}_{mn}^{(\chi)}, \hat{\xi}_{mn}^{(\chi)}, \hat{\eta}_{mn}^{(\chi)}$  по формулам

$$z_{m,n}^{(\chi),j} = x_{m,n}^{(\chi),j} \delta_j^1 + y_{m,n}^{(\chi),j} \delta_j^2, \quad \delta_j^s = \begin{cases} 1, j=s, \\ 0, j \neq s, \end{cases}$$

$$x_{m,n}^{(\chi)} = \hat{\alpha}_{m,n}^{(\chi)} \frac{d^{\chi-1}}{d\gamma_1^{\chi-1}} P_{-1/2+i\tau}^{(n+\nu)N}(\cos \gamma_1),$$

$$y_{m,n}^{(\chi)} = \hat{\eta}_{m,n}^{(\chi)} \frac{d^{\chi-1}}{d\gamma_2^{\chi-1}} P_{-1/2+i\tau}^{(n+\nu)N}(-\cos \gamma_2),$$

$$\hat{\beta}_{m,n}^{(\chi)} = \frac{1}{\Delta_{i\tau}^{(\chi),m}(\gamma_1, \gamma_2)} \left[ x_{m,n}^{(\chi)} \frac{d^{\chi-1}}{d\gamma_1^{\chi-1}} P_{-1/2+i\tau}^{(n+\nu)N}(-\cos \gamma_2) - y_{m,n}^{(\chi)} \frac{d^{\chi-1}}{d\gamma_1^{\chi-1}} P_{-1/2+i\tau}^{(n+\nu)N}(-\cos \gamma_1) \right],$$

$$\hat{\xi}_{m,n}^{(\chi)} = -\frac{1}{\Delta_{i\tau}^{(\chi),m}(\gamma_1, \gamma_2)} \left[ x_{m,n}^{(\chi)} \frac{d^{\chi-1}}{d\gamma_1^{\chi-1}} P_{-1/2+i\tau}^{(n+\nu)N}(\cos \gamma_2) - y_{m,n}^{(\chi)} \frac{d^{\chi-1}}{d\gamma_1^{\chi-1}} P_{-1/2+i\tau}^{(n+\nu)N}(\cos \gamma_1) \right],$$

$m/N = m_0 + v$ ,  $-1/2 \leq v < 1/2$ ,  $m_0$  – ближайшее целое к  $m/N$ . Вид систем для нахождения  $\hat{z}_{m,n}^{(x),j}$  приведен в [13]. В случае сплошного внутреннего конуса  $\Sigma_1$  ( $d_1 = 0^0$ ) система для  $z_{m,n}^{(x),j}$  упрощается и превращается в определенные на конических секторах и в щелях конуса  $\Sigma_2$  функциональные уравнения для  $\hat{y}_{m,n}^{(x)}$  [13], которые с помощью метода полуобращения сводятся к системе линейных алгебраических уравнений второго рода фредгольмовского типа (СЛАУ-2) относительно коэффициентов [13]:

$$\begin{aligned} y_{m,n}^{(\chi)} = \delta_\chi^1 (-1)^{n-m_0} \frac{n+\nu}{m_0+\nu} \frac{|n|}{n} \times \\ \times \left( 1 - \varepsilon_{n,2}^{(1)} \right) \left[ \hat{y}_{m,n}^{(1)} - \hat{C}_{i\tau}^{(\chi),(n+\nu),N} (\gamma_1, \gamma_2) \delta_n^{m_0} \right] + \\ + \delta_\chi^2 \left[ \hat{y}_{m,n}^{(2)} - \delta_n^{m_0} \right]. \end{aligned}$$

## 2. Аналитическое решение

Для полупрозрачной конической поверхности  $\Sigma_2$ , которая определяется существованием предела

$$W_\chi = \lim_{\substack{N \rightarrow +\infty \\ d_2/l \rightarrow 2-\chi}} \left[ -\frac{1}{N} \ln \sin \left( \frac{\pi}{2} (\chi - d_2/l) \right) \right] \quad (10)$$

с внутренним сплошным экраном  $\Sigma_1$  в случае  $E$ -поляризации получены аналитические решения СЛАУ-2, что позволило выписать аналитические решения дифракционной задачи. Рассмотрим два случая полупрозрачного конуса.

*Случай 1.*  $N \gg 1$ ,  $(l-d_2)/l \ll 1$ ,  $W_1 \neq 0$ ,  $W_2 = 0$ .

Электрический потенциал Дебая  $v_1^{(1)}$  в этом случае может быть представлен в виде

$$v_1^{(1)} = v_1^{(1), \text{сплн } \Sigma_1} + v_1^{(1), \Sigma_{1,2}},$$

где  $v_1^{(1), \text{сплн } \Sigma_1}$  соответствует потенциальному при дифракции плоской волны на одиночном (в отсутствие  $\Sigma_2$ ) сплошном конусе  $\Sigma_1$  [9], а слагаемое  $v_1^{(1), \Sigma_{1,2}}$  учитывает присутствие конуса  $\Sigma_1$  и полупрозрачного конуса  $\Sigma_2$ , причем

$$\begin{aligned} v_1^{(1), \Sigma_{1,2}} = \cos \varphi \int_0^{+\infty} \varpi_{i\tau} \frac{H_{i\tau}^{(1)}(kr)}{\sqrt{r}} \hat{A}_{i\tau}^{(-1)} \times \\ \times \frac{1 - \hat{C}_{i\tau}^{(1),-1}(\gamma_1, \gamma_2)}{\hat{A}_{i\tau}^{(-1)} + 2W_1} \frac{P_{-1/2+i\tau}^{-1}(\cos \gamma_2)}{P_{-1/2+i\tau}^{-1}(-\cos \gamma_2)} P_{-1/2+i\tau}^{-1}(-\cos \theta) d\tau - \\ - i \operatorname{tg}^2(\gamma_2/2) \frac{(1 - \operatorname{tg}^2(\gamma_1/2)/\operatorname{tg}^2(\gamma_2/2))^2}{1 - \operatorname{tg}^2(\gamma_1/2)/\operatorname{tg}^2(\gamma_2/2) + 2W_1} \times \\ \times \cos \varphi \operatorname{ctg} \frac{\theta \sin kr}{2 k^2 r}, \quad \gamma_2 < \theta < \pi, \\ \varpi_{i\tau} = -\frac{1}{k} \sqrt{\frac{\pi}{2k}} e^{i \frac{\pi}{4} - \frac{\pi \tau}{2}} \tau \operatorname{th} \pi \tau, \\ \hat{C}_{i\tau}^{(\chi),M}(x, y) = \frac{d^{\chi-1}}{dx^{\chi-1}} \frac{P_{-1/2+i\tau}^M(\cos x)}{d^{\chi-1}} \frac{d^{\chi-1}}{dy^{\chi-1}} \frac{P_{-1/2+i\tau}^M(-\cos y)}{d^{\chi-1}}, \\ \hat{A}_{i\tau}^{(-1)} = \frac{\pi}{ch \pi \tau} \left( \tau^2 + 1/4 \right) P_{-1/2+i\tau}^{-1}(\cos \gamma_2) P_{-1/2+i\tau}^{-1}(-\cos \gamma_2) \\ \left[ 1 - \hat{C}_{i\tau}^{(1),-1}(\gamma_1, \gamma_2) \right]. \end{aligned}$$

Аналогичное представление для  $v_1^{(1), \Sigma_{1,2}}$  имеет место и при  $\gamma_1 < \theta < \gamma_2$ . Магнитный потенциал  $v_1^{(2)}$  не испытывает влияния щелей и такой, как у одиночного сплошного конуса  $\Sigma_1$ .

*Случай 2.*  $N \gg 1$ ,  $d_2/l \ll 1$ ,  $W_1 = 0$ ,  $W_2 \neq 0$ .

В этом случае наличие неоднородностей в виде большого числа узких щелей оказывает влияние только на магнитный потенциал Дебая  $v_1^{(1)}$ , структура которого может иметь вид

$$v_1^{(2)} = v_1^{(2), \text{сплн } \Sigma_2} + \tilde{v}_1^{(2), \Sigma_{1,2}},$$

где  $v_1^{(2), \text{сплн } \Sigma_2}$  – магнитный потенциал Дебая для сплошного конуса  $\Sigma_2$  [9];

$$\begin{aligned} \tilde{v}_1^{(2), \Sigma_{1,2}} = -\frac{1}{W_2} \sin \varphi \int_0^{+\infty} \frac{H_{i\tau}^{(1)}(kr)}{\sqrt{r}} \tilde{A}_{i\tau}^{(-1)} \Omega_{i\tau}^{(2),-1} P_{-1/2+i\tau}^{-1} \times \\ \times (-\cos \theta) d\tau - \frac{i}{2W_2} \Omega(\gamma_1, \gamma_2, W_2) \sin \varphi \operatorname{ctg} \frac{\theta \sin kr}{2 k^2 r}, \\ \gamma_2 < \theta < \pi, \end{aligned}$$

$$\begin{aligned} \Omega_{i\tau}^{(2),-1}(\gamma_1, \gamma_2, W_2) &= \sigma_{i\tau} \frac{1 - \hat{C}_{i\tau}^{(2),-1}(\gamma_1, \gamma_2)}{\tilde{A}_{i\tau}^{(-1)} + 2W_2} \times \\ &\times \frac{\frac{d}{d\gamma_2} P_{-1/2+i\tau}^{-1}(\cos \gamma_2)}{\frac{d}{d\gamma_2} P_{-1/2+i\tau}^{-1}(-\cos \gamma_2)}, \\ \Omega(\gamma_1, \gamma_2, W_2) &= \frac{\operatorname{tg}^2(\gamma_2/2) - \operatorname{tg}^2(\gamma_1/2)}{1 - \operatorname{tg}^2(\gamma_1/2)/\operatorname{tg}^2(\gamma_2/2) + 1/2W_2}, \\ \tilde{A}_{i\tau}^{(-1)} &= -\frac{ch\pi\tau}{\pi \sin^2 \gamma_2 (\tau^2 + 1/4)} \times \\ &\times \frac{1}{\frac{d}{d\gamma_2} P_{-1/2+i\tau}^{-1}(\cos \gamma_2) \frac{d}{d\gamma_2} P_{-1/2+i\tau}^{-1}(-\cos \gamma_2)} \times \\ &\times \frac{1}{1 - \hat{C}_{i\tau}^{(2),-1}(\gamma_1, \gamma_2)}. \end{aligned}$$

Аналогичное представление имеет место и для  $0 < \theta < \gamma_2$ . Выражение для  $v_1^{(2)}$  удобно для учета “поправочного” поля к полю сплошного конуса  $\Sigma_2$  за счет неоднородностей в виде большого числа узких продольных щелей и наличия конуса  $\Sigma_1$ . Для учета поправки к полю сплошного конуса  $\Sigma_1$  за счет присутствия полупрозрачного конуса  $\Sigma_2$  удобно пользоваться представлением

$$v_1^{(2)} = v_1^{(2) \text{ сплн } \Sigma_1} + v_1^{(2), \Sigma_1, 2},$$

где  $v_1^{(2) \text{ сплн } \Sigma_1}$  — магнитный потенциал Дебая для сплошного конуса  $\Sigma_1$ ;

$$\begin{aligned} v_1^{(2), \Sigma_1, 2} &= \frac{2}{w} W_2 \sin \varphi \int_0^{+\infty} \frac{H_{i\tau}^{(1)}(kr)}{\sqrt{r}} \Omega_{i\tau}^{(2),-1} P_{-1/2+i\tau}^{-1}(-\cos \theta) d\tau + \\ &+ \frac{i}{w} \Omega \left( 1 - \frac{\operatorname{tg}^2(\gamma_1/2)}{\operatorname{tg}^2(\gamma_2/2)} \right) \sin \varphi \operatorname{ctg} \frac{\theta}{2} \frac{\sin kr}{k^2 r}, \quad \gamma_2 < \theta < \pi. \end{aligned}$$

Электрический потенциал Дебая в случае полупрозрачного конуса не испытывает влияния щелей и потенциальному Дебая сплошного конуса:  $v_1^{(1)} = v_1^{(1) \text{ сплн } \Sigma_2}$ .

### 3. Численный анализ рассеянного конической структурой поля

В волновой зоне (области пространства отраженной от вершины и уходящей сферической волны,

$kr \gg 1$ ) распределение электрического поля определяется формулами

$$E_\theta^{\text{pac.}} = \frac{e^{ikr}}{kr} F_\theta^E(\theta, \varphi) \left[ 1 + O\left(\frac{1}{kr}\right) \right], \quad (11)$$

$$E_\varphi^{\text{pac.}} = \frac{e^{ikr}}{kr} F_\varphi^E(\theta, \varphi) \left[ 1 + O\left(\frac{1}{kr}\right) \right], \quad (12)$$

где  $F_\theta^E(\theta, \varphi, \gamma, d)$  и  $F_\varphi^E(\theta, \varphi, \gamma, d)$  — функции, описывающие распределение поля в волновой зоне, которое будем характеризовать диаграммой рассечения. В случае падения плоской  $E$ -поляризованной волны на конус  $\Sigma_2$  с одной щелью и внутренним сплошным экраном  $\Sigma_1$  функции  $F_\theta^E$  и  $F_\varphi^E$  (11), (12) имеют вид

$$\begin{aligned} F_\theta^E &= \frac{\operatorname{tg} \frac{\gamma_2}{2}}{\sin \theta} \sum_{n=-\infty}^{\infty} \xi_{1,1+n}^{(2)} \frac{\operatorname{tg}^{|l+n|} \frac{\gamma_2}{2}}{\operatorname{tg}^{|l+n|} \frac{\theta}{2}} \operatorname{sign}(l+n) \cos((l+n)\varphi) - \\ &- \int_0^{\pi} t h \pi \tau \left\{ P_{-1/2+i\tau}^{-1}(\cos \gamma_2) \sum_{n=-\infty}^{\infty} y_{-1,-1-n}^{(1)} \frac{d}{d\theta} \frac{P_{-1/2+i\tau}^{-1-n}(-\cos \theta)}{P_{-1/2+i\tau}^{-1-n}(-\cos \gamma_2)} \times \right. \\ &\times \cos((l+n)\varphi) + \frac{\frac{d}{d\gamma_2} P_{-1/2+i\tau}^{-1}(\cos \gamma_2)}{\sin \theta} \sum_{n=-\infty}^{\infty} y_{-1,-1-n}^{(2)} \times \\ &\times \left. \frac{P_{-1/2+i\tau}^{-1-n}(-\cos \theta)}{\frac{d}{d\gamma_2} P_{-1/2+i\tau}^{-1-n}(-\cos \gamma_2)} (l+n) \cos((l+n)\varphi) \right\} d\tau, \quad (13) \end{aligned}$$

$$\begin{aligned} F_\varphi^E &= \frac{\operatorname{tg} \frac{\gamma_2}{2}}{\sin \theta} \sum_{n=-\infty}^{\infty} \xi_{1,1+n}^{(2)} \frac{\operatorname{tg}^{|l+n|} \frac{\gamma_2}{2}}{\operatorname{tg}^{|l+n|} \frac{\theta}{2}} \sin((l+n)\varphi) + \\ &+ \int_0^{\pi} t h \pi \tau \left\{ \frac{P_{-1/2+i\tau}^{-1}(\cos \gamma_2)}{\sin \theta} \sum_{n=-\infty}^{\infty} y_{-1,-1-n}^{(1)} \frac{P_{-1/2+i\tau}^{-1-n}(-\cos \theta)}{P_{-1/2+i\tau}^{-1-n}(-\cos \gamma_2)} \times \right. \\ &\times (l+n) \sin((l+n)\varphi) + \frac{d}{d\gamma_2} P_{-1/2+i\tau}^{-1}(\cos \gamma_2) \times \end{aligned}$$

$$\left. \times \sum_{n=-\infty}^{\infty} y_{-1,-1-n}^{(2)} \frac{\frac{d}{d\theta} P_{-1/2+i\tau}^{-1-n}(-\cos \theta)}{\frac{d}{d\gamma_2} P_{-1/2+i\tau}^{-1-n}(-\cos \gamma_2)} \sin((l+n)\varphi) \right\} d\tau, \quad (14)$$

где коэффициенты  $\xi_{m,n}^{(2)}$  связаны с  $y_{m,n}^{(\chi)}$ , являющими решением СЛАУ-2 и найденными с помощью метода редукции.

**Конус  $\Sigma_2$  с продольной щелью.** Представления для  $F_\theta^E$  и  $F_\varphi^E$  в случае одиночного конуса  $\Sigma_2$  (без внутреннего экрана  $\Sigma_1$ ) получаются из (13) и (14) в результате предельного перехода при  $\gamma_1 \rightarrow 0$ . На рис.2 приведены диаграммы рассеяния  $E_\theta^{\text{pac}}$  и  $E_\varphi^{\text{pac}}$  составляющих электрического поля (вычисленные по формулам (11) – (14) абсолютные значения  $F_\theta^E$  и  $F_\varphi^E$ , нормированные на максимум) в волновой зоне ( $\theta > 2\gamma_2$ ). Из вида  $F_\theta^E$  и  $F_\varphi^E$  и из независимости от  $k$  коэффициентов  $y_{m,n}^{(\chi)}$  следует, что данные величины не содержат волнового числа.

На рис.2 – 5 приведены диаграммы в азимутальной плоскости для конуса с одной щелью,  $\gamma_2 = 22,5^\circ$ ,  $\theta = 60^\circ$ .

С появлением щели наблюдается уменьшение интенсивности распределения  $E_\varphi^{\text{pac}}$  составляющей поля в направлении  $\varphi = 0^\circ$  и при  $d_2 > 90^\circ$  вообще исчезает. Щель оказывает заметное влияние на  $E_\varphi^{\text{pac}}$  – составляющую в рассеянном поле. При  $d_2 > 210^\circ$  на диаграмме  $E_\varphi^{\text{pac}}$  отчетливо наблюдается появление дополнительных лепестков вне области, занятой конусом (рис.3). С расширением щели амплитуда дополнительных лепестков увеличивается и при  $d_2 > 260^\circ$  преобладает над «основными» лепестками.

В случае сплошного конуса ( $d_2 = 0^\circ$ ) диаграмма  $E_\theta^{\text{pac}}$  имеет форму «восьмерки» с минимумами при  $\varphi = 90$  и  $270^\circ$ ; диаграмма  $E_\varphi^{\text{pac}}$  также имеет форму «восьмерки», но повернутой на  $90^\circ$  с минимумами при  $\varphi = 0$  и  $180^\circ$ .

На рис. 4 для сравнения приведены диаграммы рассеяния для составляющих электрического поля в зависимости от ширины щели, из чего следует преобладание абсолютного значения  $E_\theta^{\text{pac}}$  над  $E_\varphi^{\text{pac}}$ .

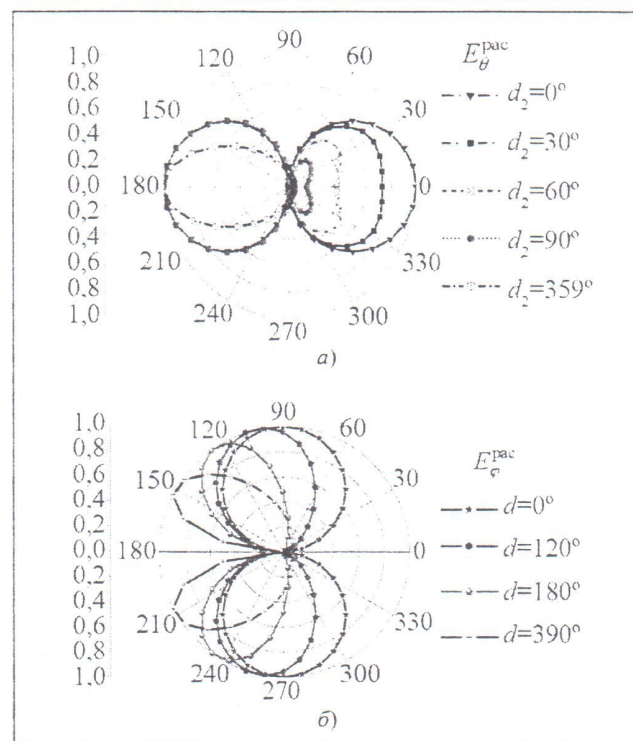


Рис.2. Диаграммы рассеяния  $E_\theta^{\text{pac}}$  (а) и  $E_\varphi^{\text{pac}}$  (б) составляющих поля для конуса с одной щелью

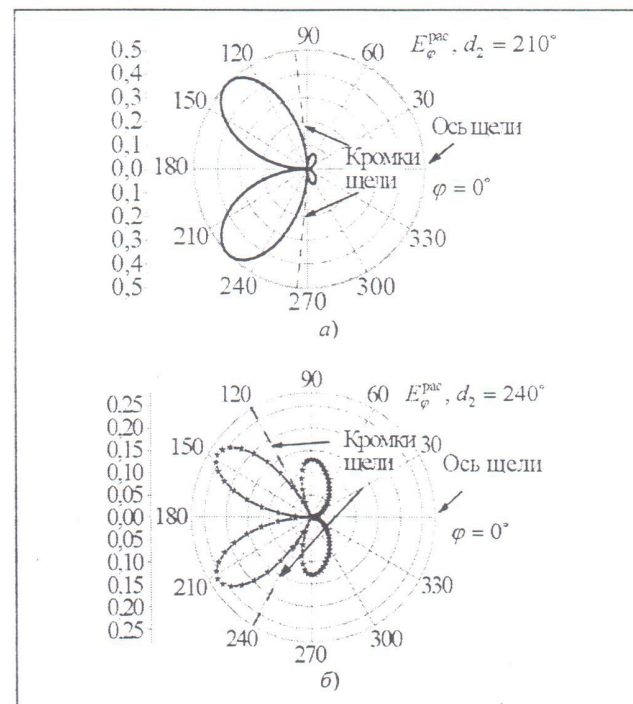


Рис. 3. Диаграмма рассеяния  $E_\varphi^{\text{pac}}$  составляющей поля для конуса с одной щелью: а –  $d_2 = 210^\circ$ ; б –  $d_2 = 240^\circ$

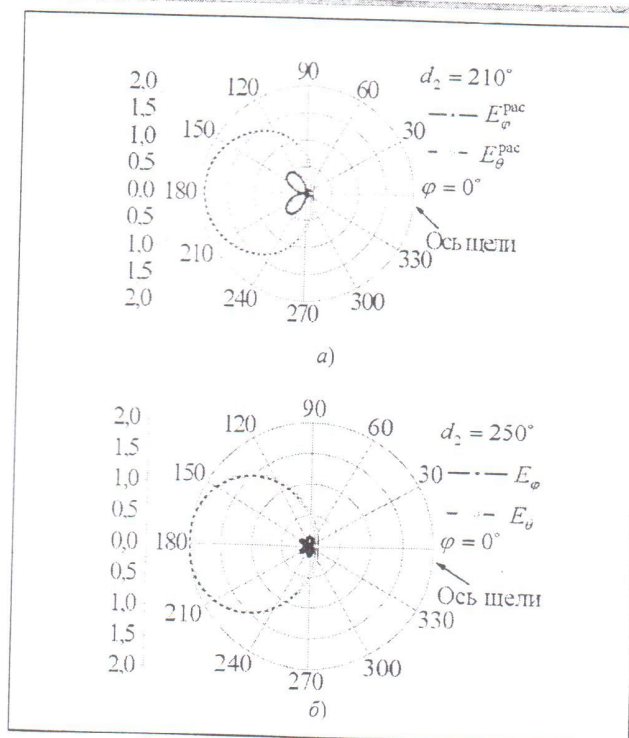


Рис. 4. Сравнение диаграмм рассеяния  $E_\phi^{\text{pac}}$  и  $E_\theta^{\text{pac}}$  составляющих поля для конуса с одной щелью: а –  $d_2 = 210^\circ$ , б –  $d_2 = 250^\circ$

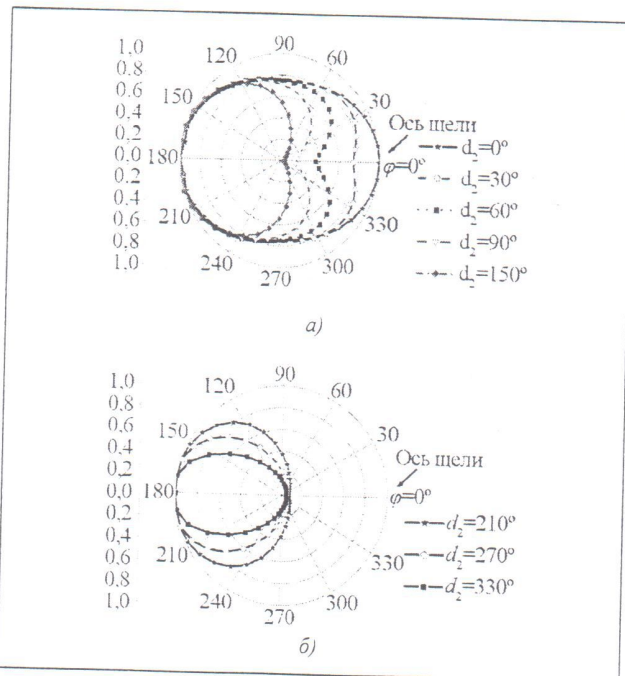


Рис. 5. Нормированное распределение  $|E^{\text{pac}}|$  в волновой зоне для конуса с одной щелью: а –  $d_2 = 0^\circ$  (сплошной конус),  $d_2 = 30^\circ, 60^\circ, 90^\circ, 150^\circ$ ; б –  $d_2 = 210^\circ, 270^\circ, 330^\circ$

На рис. 5 приведено нормированное распределение поля в волновой зоне для разных размеров щели  $d_2$  в азимутальной плоскости.

Увеличение ширины щели приводит к изменению формы диаграммы рассеяния и появлению впадины, симметричной относительно оси щели. При ширине щели, большей  $210^\circ$ , впадина исчезает и диаграмма превращается в диаграмму одиночного рассеивателя, ось которого смешена по отношению к оси  $OZ$  на угол  $\theta = 22.5^\circ$ .

**Конус  $\Sigma_2$  с продольной щелью и внутренним сплошным экраном  $\Sigma_1$ .** На рис. 6 приведено распределение поля в волновой зоне в присутствии незамкнутой конической структуры  $\Sigma_2$  с внутренним экраном  $\Sigma_1$ .

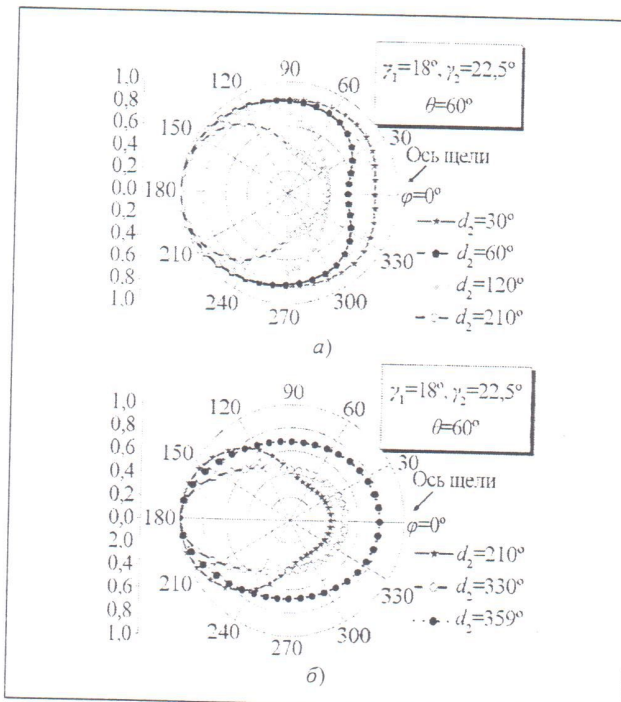


Рис. 6. Диаграммы рассеяния для конуса с продольной щелью и внутренним сплошным экраном.  $\gamma_1 = 18^\circ$ ,  $\gamma_2 = 22.5^\circ$ ,  $\theta = 60^\circ$ : а –  $d_2 = 30, 60, 120, 210^\circ$ ; б –  $d_2 = 210, 330, 359^\circ$

При ширине щели  $d_2 > 120^\circ$  в рассеянном поле наблюдается «высвечивание» из щели, обусловленное присутствием внутреннего экрана (рис. 7). Для  $d_2 > 330^\circ$  диаграмма приближается по форме к диаграмме для сплошного конуса (рис. 6, б).

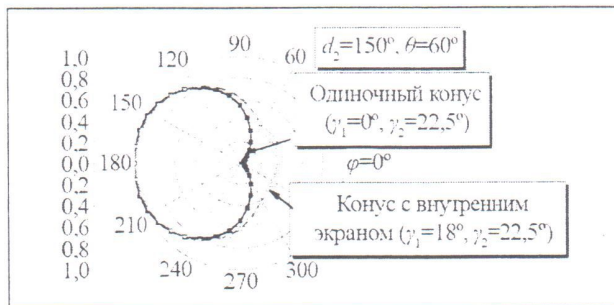


Рис. 7. Диаграммы рассеяния для конуса с одной щелью и конуса с внутренним экраном

### Заключение

Итак, приведены результаты исследования модельной задачи рассеяния плоской электромагнитной волны на отражателе, составленном из двух коаксиальных круговых конусов с периодическими продольными щелями. Для решения краевой электродинамической задачи использован и получивший в данной работе свое развитие строгий численно-аналитический метод, основанный на применении интегральных преобразований Конторовича – Лебедева в сочетании с методом полубращения. Показано, что решение электродинамической задачи сводится к решению систем линейных алгебраических уравнений второго рода фредгольмовского типа относительно коэффициентов Фурье составляющих электромагнитного поля. Для полупрозрачного конуса с внутренним сплошным экраном получено аналитические решение и изучена структура рассеянного поля. Проведен численный анализ распределения рассеянного поля в волновой зоне в зависимости от параметров задачи в случае конуса с продольной щелью и незамкнутого конуса с внутренним сплошным экраном. Показана возможность получения односторонних, в частности, в форме кордиоиды, диаграмм рассеяния.

Автор выражает благодарность проф. Шифрину Я.С. и проф. Кравченко В.Ф. за полезные советы и замечания при обсуждении результатов работы, а также Семеновой Е.К. за помощь в численных расчетах.

### Литература

- Подосенов С.А., Потапов А.А., Соколов А.А. Импульсная электродинамика широкополосных радиосистем и поля связанных структур. – М: Радиотехника. 2003.
- Рамзей В. Частотно независимые антенны: Пер с англ./Под ред. А.Ф. Чаплина. – М.: Мир, 1968.
- Кобак В.О. Радиолокационные отражатели. – М.: Советское радио. 1975.
- Гошин Г.Г. Границевые задачи электродинамики в конических областях. – Томск: Томск. ун-т, 1987.
- Колодий Б.И., Куриляк Д.Б. Осесимметричные задачи дифракции электромагнитных волн на конических поверхностях. – Киев: Наукова думка. 1995 (на укр. яз).
- Андреев Ю.А., Буюнов Ю.И., Кошелев В.И., Сухшин К.Н. Элемент сканирующей антенной решетки для излучения мощных сверхширокополосных электромагнитных импульсов. – Радиотехника и электроника, 1999, т.44, № 5, с.531-537.
- Лебедев Н.Н., Конторович М.И. О применении формул обращения к решению некоторых задач электродинамики. – ЖЭТФ, 1939, т.9, вып.6, с.729-741.
- Лебедев Н.Н. Специальные функции и их приложения. – М.: ГИФМЛ, 1963.
- Горяйнов А.С. Дифракция плоской электромагнитной волны, распространяющейся вдоль оси конуса. – Радиотехника и электроника, 1961, т.6, №1, с.47-57.
- Senior, T.B.A., Volakis J.L. Approximate boundary conditions in electromagnetics. – London: The institution of Electrical Engineers, 1995.
- Хенл X., Мауэ А., Вестпфаль К. Теория дифракции. – М.: Мир, 1964.
- Вайнштейн Л.А. Электромагнитные волны. – М: Радио и связь, 1988.
- Дорошенко В.А. Рассеяние электромагнитных волн на структуре из двух коаксиальных незамкнутых конусов. – Успехи современной радиоэлектроники. 2005, №5, с.41-52.

Поступила 22 мая 2006 г.

Дорошенко Владимир Алексеевич (1954 г. р.) – канд. физ.-мат. наук, доц. кафедры высшей математики Харьковского национального университета радиоэлектроники.

Область научных интересов: математическая физика, электродинамика.